

LEGENDA SINÓPTICA

- ARGISSOLOS
 - PVd1 a PVd3 - ARGISSOLOS VERMELHOS Distrotróficos
 - PVe1 a PVe3 - ARGISSOLOS VERMELHOS Eutrotróficos
 - PVAd1 a PVAd3 - ARGISSOLOS VERMELHO-AMARELOS Distrotróficos
 - PVAd1 e PVAd2 - ARGISSOLOS VERMELHO-AMARELOS Eutrotróficos
- CAMBISSOLOS
 - CHa1 a CHa8 - CAMBISSOLOS HÚMICOS Aluminicos
 - CHd - CAMBISSOLOS HÚMICOS Distrotróficos
 - CYbd - CAMBISSOLOS FLÚVICOS Tb Distrotróficos
 - CXa1 e CXa2 - CAMBISSOLOS HÁPLICOS Aluminicos
 - CXbd1 a CXbd3 - CAMBISSOLOS HÁPLICOS Tb Distrotróficos
 - CXve - CAMBISSOLOS HÁPLICOS Ta Eutrotróficos
- CHERNOSSOLO
 - MD - CHERNOSSOLOS RENDZICOS Órticos
- ESPODOSSOLO
 - Ekg - ESPODOSSOLOS HUMILÚVICOS Hidromórficos
- GLEISSOLOS
 - Gz - GLEISSOLOS SÁLICOS
 - Gm1 a Gm3 - GLEISSOLOS MELÂNICOS
 - Gx1 e Gx2 - GLEISSOLOS HÁPLICOS
- LATOSSOLOS
 - LBw1 e LBw2 - LATOSSOLOS BRUNOS Árticos
 - LBt1 a LBt10 - LATOSSOLOS BRUNOS Distrotróficos
 - LVd1 a LVd14 - LATOSSOLOS VERMELHOS Distrotróficos
 - LVef1 a LVef3 - LATOSSOLOS VERMELHOS Eutrotróficos
 - LVd1 a LVd23 - LATOSSOLOS VERMELHOS Distrotróficos
 - LVe1 e LVe2 - LATOSSOLOS VERMELHOS Eutrotróficos
 - LVAd1 e LVAd2 - LATOSSOLOS VERMELHO-AMARELOS Distrotróficos
- NEOSSOLOS
 - RLh1 a RLh10 - NEOSSOLOS LITÓLICOS Húmicos
 - RLd - NEOSSOLOS LITÓLICOS Distro-úmbricos
 - RLd - NEOSSOLOS LITÓLICOS Distrotróficos
 - RYq - NEOSSOLOS FLÚVICOS Psamíticos
 - RYbd - NEOSSOLOS FLÚVICOS Tb Distrotróficos
 - RRh1 a RRh3 - NEOSSOLOS REGOLÍTICOS Húmicos
 - RRd1 a RRd6 - NEOSSOLOS REGOLÍTICOS Distro-úmbricos
 - RRd1 a RRd9 - NEOSSOLOS REGOLÍTICOS Distrotróficos
 - RRe1 a RRe12 - NEOSSOLOS REGOLÍTICOS Eutrotróficos
- NEOSSOLOS QUARTZARENICOS Órticos
- NITOSSOLOS
 - NBa1 e NBa2 - NITOSSOLOS BRUNOS Aluminicos
 - NBd1 a NBd4 - NITOSSOLOS BRUNOS Distrotróficos
 - NVd1 a NVd7 - NITOSSOLOS VERMELHOS Distrotróficos
 - NVef1 a NVef10 - NITOSSOLOS VERMELHOS Eutrotróficos
- ORGANOSSOLOS
 - OX1 a OX3 - ORGANOSSOLOS HÁPLICOS
- AFLOREAMENTOS DE ROCHA
 - AR1 e AR2 - AFLOREAMENTOS ROCHEOSOS

CONVENÇÕES

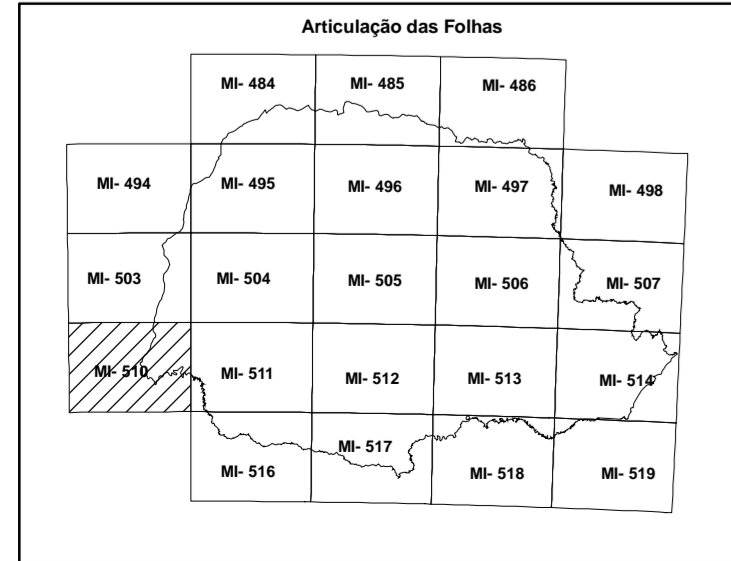
- Localidade (Capital e outras cidades)
- Rodovia Municipal
- Rodovia Estadual
- Rodovia Federal
- Limite Estadual
- Limite Internacional
- Corpo d'água
- Drenagem
- Ilha
- Limite entre unidades de mapeamentos

Autoria:
Solos: Atualização do Mapa de Solos - SIBCS, 2006
Geoprocessamento:
Humberto Gonçalves dos Santos*, Mário Luiz Diamante Aglio*,
Sílvia Barge Bhering*, José Silva de Souza*,
Ilamar Antônio Bogdahn**, Waldin de Carvalho Junior*,
Gustavo Ribes Caldeira**, César Vainer Manzatto*,
César da Silva Chagas*, César da Silva Chagas*

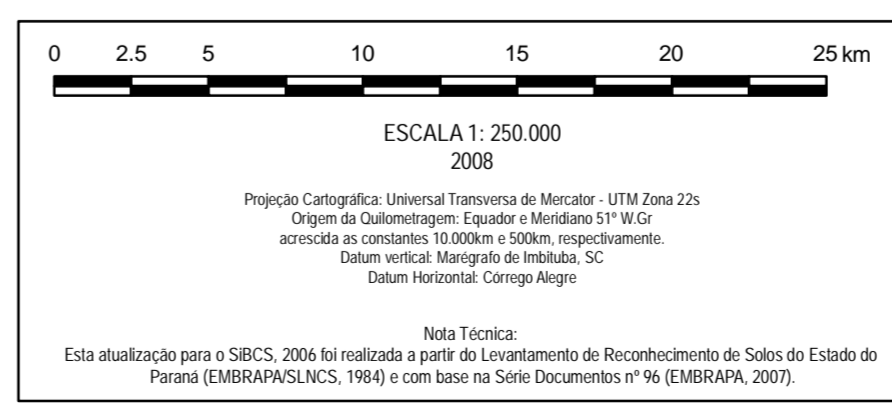
* EMBRAPA SOLOS
** EMBRAPA FLORESTA

LABORATÓRIO DE GEOTECNOLOGIA

AGRADECIMENTOS ESPECIAIS:
A Embrapa Solos e a Embrapa Florestas, apresentam publicamente todo o seu reconhecimento e agradecimento aos colegas profissionais que contribuíram ao longo de mais de três décadas na geração do conhecimento, na distribuição e na ocorrência dos solos no estado do Paraná: André Carlos, Anésio Pereira de Carvalho, Sérgio Pereira Hochmuth, Jorge Otávio Ianni Laranh, Moacyr de Jesus Basso, Pedro Jorge Furtado e Rinaldo Oscar Pötter.



Nota Técnica da Base de Apoio Temática:
A base de apoio para o delineamento do mapa de solos (drenagem, rodovias, limites políticos e áreas urbanas), foi gerada a partir da digitalização e mosaico das folhas planialtimétricas do IBGE na escala 1:250.000 (artificação a esquerda). A atualização dos limites das represas foi realizada a partir do plano de informação fornecido pelo Instituto de Terras, Cartografia e Geodésias - ITCC - Estado do Paraná.



Declinação Magnética do Centro da Folha: 12° 42' Cresce 10' Anualmente.
Convergência Meridiana do Centro da Folha: 0° 17'